

## ФАЗОВЫЕ АНАЛИЗЫ $N\bar{K}$ -РАССЕЯНИЯ И МАГНИТНЫЙ МОМЕНТ $\Lambda$ -ГИПЕРОНА

Ф.Никитиу, В.А.Романов\*, С.В.Трубников\*

Предполагается, что S-матрица  $N\bar{K}$ -рассеяния имеет в  $P_{01}$ -канале полюс, соответствующий  $\Lambda$ -гиперону. Определен магнитный момент  $\Lambda$ -гиперона  $\mu_\Lambda$ . Его величина "набирается" только за счет магнитных моментов нуклонов и нетривиальной релятивистской связи N и  $\bar{K}$  в  $P_{01}$ -канале. Данный метод вычисления  $\mu_\Lambda$  дополняет методы квартковых моделей. Результаты расчетов находятся в хорошем согласии с экспериментальным значением  $\mu_\Lambda$ .

Работа выполнена в Лаборатории ядерных проблем ОИЯИ.

### $N\bar{K}$ -Scattering Phase Analysis and $\Lambda$ -Hyperon Magnetic Moment

F.Nichitiu, V.A.Romanov, S.V.Trubnikov

The  $N\bar{K}$ -scattering S-matrix is suggested to have the  $P_{01}$ -channel pole which corresponds to  $\Lambda$ -hyperon. The  $\Lambda$ -hyperon magnetic moment is calculated. Its value "arises" only due to nucleon magnetic moments and N and  $\bar{K}$  nontrivial relativistic coupling in the  $P_{01}$ -channel. This is one more method to the quark model methods. Our calculations are in agreement with the experimental value of  $\mu_\Lambda$ .

The investigation has been performed at the Laboratory of Nuclear Problems, JINR.

Экспериментальное значение магнитного момента  $\Lambda$ -гиперона известно весьма точно<sup>1)</sup>:

$$\mu_\Lambda^{\text{exp}} = -0,6138 \pm 0,0047 \text{ я.м.} \quad (1)$$

К настоящему времени появилось значительное число работ (см., например, статьи<sup>2-15)</sup>, посвященных теоретическому осмыслению величины (1). В большинстве работ по определению магнитных моментов октета барионов величина  $\mu_\Lambda$  не вычисляется, а является входным параметром теории (наряду с магнитными

\* Харьковский государственный университет

моментами протона и нейтрона  $\mu_p, \mu_n$  ). При этом экспериментальные значения магнитных моментов остальных гиперонов воспроизводятся с точностью  $\sim 20\%$  <sup>13,15</sup>. В тех случаях, когда величина  $\mu_\Lambda$  вычисляется в рамках того или иного динамического подхода (например, в работах <sup>7,9,14</sup>), полученные результаты отстоят довольно далеко от экспериментального значения (1). Если же теоретическое значение  $\mu_\Lambda$  близко к экспериментальному, то, как правило, возникают трудности с описанием  $\mu_p$  и  $\mu_n$  <sup>13</sup>.

Цель настоящей работы — показать, что величину магнитного момента  $\Lambda$ -гиперона можно вычислить в рамках релятивистского подхода <sup>16,17</sup> к описанию определенного класса составных адронных систем. В этом подходе электромагнитные формфакторы двухчастичного связанного состояния выражаются через электромагнитные формфакторы составляющих частиц, каждая из которых находится на массовой поверхности, и через фазы взаимного рассеяния составляющих в канале с квантовыми числами связанного состояния.

Для вычисления  $\mu_\Lambda$  необходимо предположить, что  $S$ -матрица  $NK$ -рассеяния в  $P_{01}$ -канале имеет полюс, отвечающий  $\Lambda$ -гиперону. Разумеется, подобная модель  $\Lambda$ -гиперона ни в коей мере не является обязательной, однако она, как нам представляется, удачно дополняет существующие кварковые модели (в смысле вычисления  $\mu_\Lambda$ ). В соответствии с формализмом, развитым в работах <sup>16-18</sup>, выражение для релятивистского ( $r$ ) магнитного момента  $\Lambda$ -гиперона имеет следующий вид:

$$\mu_\Lambda^r = (1 + \epsilon) \mu_\Lambda^{n.r.}, \quad (2)$$

$$\epsilon = \int_0^\infty \left[ \frac{2m_2 \sqrt{2m_1}}{(m_1 + m_2)^2} - \frac{1}{\sqrt{2m_1} + \sqrt{E + 2m_1}} \right] \frac{\sqrt{E} \Delta^2(E)}{\sqrt{E + 2m_1}} dE / \int_0^\infty \frac{\Delta^2(E')}{\sqrt{E'}} dE', \quad (3)$$

$$\Delta(E) = \frac{\sin \delta(E)}{E} \left( \frac{E}{E_0} \right)^\pi \exp \left\{ \frac{E + E_0}{\pi} \int_0^\infty \frac{\delta(E) - \delta(E')}{(E' - E)(E' + E_0)} dE' \right\}, \quad (4)$$

\* По экспериментальному значению (1) фитируется магнитный момент странного кварка  $\mu_s$ .

где  $m_1$  — масса  $\bar{K}$ ,  $m_2$  — масса протона,  $\delta(E)$  —  $P_{01}$ -фаза  $N\bar{K}$ -рассеяния,  $E_o > 0$  — постоянная. Входящее в (2) "наивное" нерелятивистское (н. р.) значение  $\mu_{\Lambda}^{\text{n.r.}}$  вычисляется по стандартным квантовомеханическим формулам и равно

$$\mu_{\Lambda}^{\text{n.r.}} = \frac{1}{6} \left[ 2 - \mu_n - \mu_p - 2 \frac{m_2}{m_1} \right] = -0,45 \text{ я.м.} \quad (5)$$

Таким образом, для вычисления магнитного момента  $\Lambda$ -гиперона необходимо конкретизовать лишь вид  $N\bar{K}$ -фазовых сдвигов. Экспериментальный материал по  $N\bar{K}$ -рассеянию в  $P_{01}$ -канале содержится, например, в [18, 20]. Анализ соответствующих данных показывает, что допустимыми являются наборы  $P_{01}$ -фазовых сдвигов, приведенные на рисунке. Эти наборы использовались в расчетах  $\mu_{\Lambda}$  по формулам (2)-(5).

Вычисления дают для релятивистского фактора  $\epsilon$  значение  $\epsilon = 0,29 \div 0,70$ , (6)

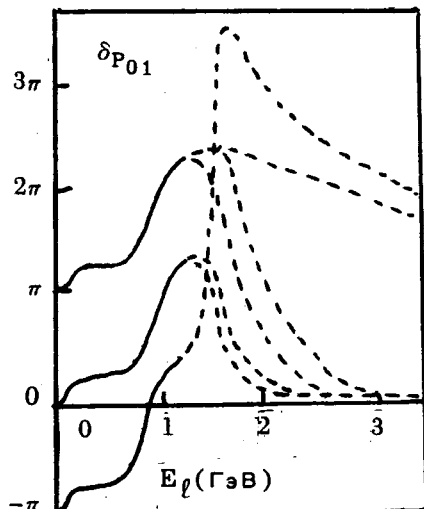
приводящее к величине магнитного момента

$$\mu_{\Lambda}^r = -(0,58 \div 0,76) \text{ я.м.} \quad (7)$$

Таким образом,  $P_{01}$ -фаза  $N\bar{K}$ -рассеяния содержит информацию о весьма значительном релятивистском усилении магнитного момента  $\Lambda$ -гиперона по сравнению с нерелятивистским квантовомеханическим значением (5).

Из (7) видно, что интервал теоретических значений  $\mu_{\Lambda}^r$ , допустимых с точки зрения современного экспериментального статуса  $N\bar{K}$ -рассеяния, является весьма широким. Для сравнения укажем, что в модели составляющих кварков получено значение  $\mu_{\Lambda} = -0,522$  я.м. [14], в модели киральных мешков — значения  $\mu_{\Lambda} = -0,51$  я.м. [9] и  $\mu_{\Lambda} = -0,58$  я.м. [5]; а метод правил сумм КХД (приближенные формулы [6]) дает  $\mu_{\Lambda} = -0,7$  я.м. Видно, что разброс "кварковых" значений  $\mu_{\Lambda}$  превышает даже интервал (7). Для сужения (7) необходимо существенное улучшение фазовых анализов  $N\bar{K}$ -рассеяния, особенно в об-

*Различные допустимые экспериментальные  $P_{01}$ -фазовые сдвиги  $N\bar{K}$ -рассеяния.*



ласти промежуточных и высоких энергий. Такие анализы могут проводиться попутно с изучением неупругих каналов  $N\bar{K}$ -взаимодействия, которые интенсивно исследуются в настоящее время.

Сравнение (5) и (7) с результатами других подходов демонстрирует своеобразную кварк-адронную дуальность: численно нерелятивистское "адронное" значение (5) близко к значению  $\mu_\Lambda = -0,43$  я.м., полученному в модели нерелятивистских составляющих夸арков в<sup>16</sup>, а наибольшее из релятивистских значений (7) совпадает с результатом вычислений в модели киральных мешков<sup>15</sup>. Интересно, что эта дуальность проявляется и в одинаковой роли релятивистских эффектов. В литературе уже отмечалось<sup>10</sup>, что как в модели киральных мешков, так и в модели составляющих夸арков релятивистские эффекты улучшают согласие с экспериментальными значениями вычисляемых магнитных моментов октета барионов. Таким образом, наши расчеты  $\mu_\Lambda$  являются дополнительными к существующим夸арковым расчетам.

Отдельная интересная проблема — вычисление величины среднеквадратичного зарядового радиуса  $\Lambda$ -гиперона  $\langle r_\Lambda^2 \rangle$ . В литературе имеются работы, где  $\langle r_\Lambda^2 \rangle$  вычислен в рамках модели составляющих夸арков с использованием вариационного принципа<sup>12</sup> и специфического выбора потенциала  $qq$ -взаимодействия<sup>14</sup>. В обоих случаях получено значение  $\langle r_\Lambda^2 \rangle = 0,04$  фм<sup>2</sup>. Было бы весьма желательно вычислить величину  $\langle r_\Lambda^2 \rangle$  всеми возможными способами и сравнить результаты. Оценки в рамках нашего подхода показывают, что распределение заряда в  $\Lambda$ -гипероне воспроизводит "нейтронный феномен": как и в нейтроне, квадрат зарядового радиуса отрицателен:  $-0,5$  фм<sup>2</sup>  $< \langle r_\Lambda^2 \rangle < 0$  фм<sup>2</sup>; более детальные вычисления требуют существенного улучшения фазовых анализов  $N\bar{K}$ -рассеяния.

Подведем итог. Релятивистский подход<sup>16-18</sup> в проблеме определения  $\mu_\Lambda$  приводит к достаточно хорошему результату:  $\mu_\Lambda$  впервые вычисляется без подгоночных параметров и какой-либо апелляции к夸арковым моделям и концепции странности. Величина релятивистского магнитного момента  $\Lambda$ -гиперона "набирается" только за счет магнитных моментов нуклонов и нетривиальной релятивистской связи  $N$  и  $\bar{K}$  в  $P_{01}$ -канале.

Авторы признательны С.Б.Герасимову, Ю.А.Щербакову и Б.З.Копелиовичу за внимание к работе и полезные обсуждения.

## ЛИТЕРАТУРА

1. Schachinger L. et al. — Phys.Rev.Lett., 1978, v.41, p.607.
2. Gerasimov S.B. JINR Preprint E2-81-268, Dubna, 1981.
3. Bohm A., Teese R.B. — Lett.Nuovo Cim., 1981, v.32, p.122.
4. Мусаханов М.М. — ЯФ, 1981, т.34, с.1123.
5. Thomas A.V. Preprint TRI-PP-82-29, 1982.
6. Mignani R., Prosperi D. — Nuovo Cim., 1983, v.75A, p.221.
7. Ioffe B.L., Smilga A.V. — In: Int.W. on Spin Phenomena in High Energy Phys., Serpuchov, 1984, p.239.
8. Азнаурян И.Г., Багдасарян А.С., Тер-Исаакян Н.Л. — ЯФ, 1984, т.39, с.108.
9. Ефросинин В.П., Заикин Д.А. — ЯФ, 1984, т.39, с.115.
10. Криворученко М.И. — ЯФ, 1984, т.40, с.801.
11. Cohen J., Weber H.T. — Phys. Lett., 1985, v.165B, p.229.
12. Sogami I.S., Oh'yamaguchi N. — Phys.Rev.Lett., 1985, v.54,p.2295.
13. Dziembowski Z., Mankiewicz L. — Phys.Rev.Lett., 1985, v.55, p.1839.
14. Silverstre-Brac B., Gignoux C. — Phys.Rev., 1985, v.D32, p.743.
15. Кобзарев И.Ю. и др. — ЯФ, 1986, т.43, с.1252.
16. Кириллов А.И. и др. — ЭЧАЯ, 1975, т.6, с.3.
17. Музafferов В.М., Троицкий В.Е., Трубников С.В. — ЭЧАЯ, 1983, т.14, с.1112.
18. Романов В.А., Трубников С.В. — В сб.: Проблемы ядерной физики и космических лучей. Харьков: Віща школа, 1986, в.25, с.3; в.26, с.37.
19. Gopal G.P. et al. — Nucl.Phys., 1977, v.B119, p.362.
20. Particle Data Group. Rev.Mod.Phys., 1984, v.56.

Рукопись поступила 25 февраля 1987 года.